

- [6] S. Masunaga, E. Matsuyma. J. Phys. Soc. Japan, 34, 1234, 1973.
 [7] Я. Я. Кирс, А. И. Лайсаар. Тр. ИФА АН ЭССР, № 10, 51, 1959.
 [8] P. B. Alers, R. L. Dolecek, J. Chem. Phys., 38, 1046, 1963.
 [9] Я. Я. Кирс. Тр. ИФА АН ЭССР, № 39, 224, 1972.
 [10] P. D. Johnson, F. E. Williams. Phys. Rev., 95, 69, 1954.
 [11] C. J. Delbecq, W. Hayes, M. C. M. O'Brien, P. H. Yuster. Proc. Roy. Soc., A 271, 243, 1963.
 [12] Г. К. Золотарев. Тр. ИФА АН ЭССР, № 23, 175, 1963; № 26, 121, 1964.
 [13] В. С. Осминин. ФТТ, 15, 2386, 1973.
 [14] В. С. Осминин, Г. С. Завт, С. Г. Зазубович, А. И. Нийлиск. Изв. АН СССР, сер. физ., 38, 1974.
 [15] А. И. Нийлиск, А. К.-Й. Мугра. Сб. «Физические исследования при высоких давлениях», Таллин, 1974.

Поступило в Редакцию 26 февраля 1974 г.

УДК 589.194+535.34

О КОНТУРЕ ИК КОЛЕБАТЕЛЬНО-ВРАЩАТЕЛЬНЫХ ПОЛОС МОЛЕКУЛЫ HCl В НЕКОТОРЫХ НЕЙТРАЛЬНЫХ РАСТВОРИТЕЛЯХ

Г. И. Баранова и И. Л. Гринштейн

Настоящая работа посвящена дальнейшему развитию представлений, изложенных в [1, 2], путем изучения ИК спектров систем HCl—нейтральный растворитель в области основного тона на примере растворов в жидкостях, в которых свободное вращение молекул HCl становится еще более выраженным по сравнению с ранее изученными системами [1]. В качестве объектов исследования были выбраны растворы HCl в жидких фреонах (обозначим растворитель с $n_D^{25} = 1.372 - C_n F_m Cl_p$, а с $n_D^{25} = 1.393 - C_k F_q Cl_s$) и в SF₆. Спектры растворов HCl во фреонах приведены на рис. 1, спектр поглощения раствора HCl в SF₆ заимствован из литературных данных [4].

Значения величин $\nu_{\text{кол.}}^{\text{зат.}}$ и $\nu_{\text{кол.}}^{\text{вр.}}$ для растворов HCl в жидких фреонах в области основного тона

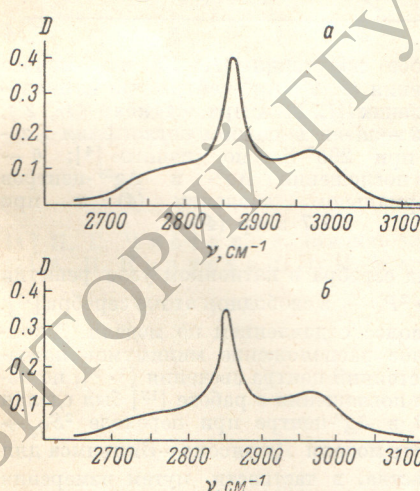


Рис. 1. Спектры поглощения HCl в различных растворителях в области основного тона.

а — HCl в C_nF_mCl_p, б — HCl в C_kF_qCl_s.

расположения системы колебательных, во-вторых, выбрать механизм уширения вращательных компонент колебательно-вращательной полосы, что позволяет путем разложения экспериментального контура на элементарные компоненты получать новую информацию о вращательном движении простых молекул в растворах [1, 2]. По спектрам растворов HCl во фреонах были определены значения частоты колебательного перехода вращающихся молекул $\nu_{\text{кол.}}^{\text{вр.}}$ с помощью предложенного в работе [1] метода. В таблице значения $\nu_{\text{кол.}}^{\text{вр.}}$ сопоставлены с частотами колебательных переходов заторможенных молекул HCl в тех же растворителях $\nu_{\text{кол.}}^{\text{зат.}}$.

Растворитель	$\nu_{\text{кол.}}^{\text{зат.}}, \text{см}^{-1}$	$\nu_{\text{кол.}}^{\text{вр.}}, \text{см}^{-1}$
C _n F _m Cl _p	2860 \pm 3	2861 \pm 1
C _k F _q Cl _s	2853 \pm 3	2853 \pm 2

Согласно [1, 2], при количественном рассмотрении влияния межмолекулярных сил на контур ИК полос растворов необходимо, во-первых, выяснить природу взаимодействий, обусловливающих смещение колебательных частот вращающихся и заторможенных молекул при фазовом переходе газ—раствор, с целью задания взаимного и колебательно-вращательных переходов и, во-вторых, выбрать механизм уширения вращательных компонент колебательно-вращательной полосы, что позволяет путем разложения экспериментального контура на элементарные компоненты получать новую информацию о вращательном движении простых молекул в растворах [1, 2]. По спектрам растворов HCl во фреонах были определены значения частоты колебательного перехода вращающихся молекул $\nu_{\text{кол.}}^{\text{вр.}}$ с помощью предложенного в работе [1] метода. В таблице значения $\nu_{\text{кол.}}^{\text{вр.}}$ сопоставлены с частотами колебательных переходов заторможенных молекул HCl в тех же растворителях $\nu_{\text{кол.}}^{\text{зат.}}$.

Совпадение $\gamma_{\text{зат.}}^{\text{кол.}}$ и $\gamma_{\text{кол.}}^{\text{вр.}}$ в пределах точности их определения означает, что в рамках приближения, использованного в [1], при фазовом переходе газ—раствор происходит практически одинаковое смещение как Q -полосы, так и всей системы колебательно-вращательных переходов, а это в свою очередь свидетельствует в пользу преобладания в обеих рассматриваемых системах универсальных межмолекулярных взаимодействий [1, 3].

Именни Ф. С.

Полученные расчетные данные позволили найти по методу [2] зависимость доли свободно вращающихся молекул в растворе от запаса их вращательного распределения высот потенциальных барьеров по ансамблю молекул для указанных выше систем. Значение высот потенциальных барьеров оказалось для $\text{HCl}-\text{C}_k\text{F}_q\text{Cl}_s$ $250 \pm 20 \text{ см}^{-1}$, а для раствора HCl в C_nF_m можно сравнить со средним значением высот барьера,ложенному в [5]: для HCl в $\text{C}_k\text{F}_q\text{Cl}_s$ — 260 ± 20 и др.

Легко видеть, что между сравниваемыми величинами разных методов, наблюдается удовлетворительное соответствие.

Применение метода [1] определения колебаний вращающихся молекул в спектре раствора HCl в C_nF_m показало, что значение высоты барьера, определенное по формуле (1), совпадает с высотой барьера, полученной по методу [2].

Расчет экспериментального контура системы HCl—SF₆ с целью разложения его на элементарные колебательно-вращательные компоненты проводился при варьировании параметра флукуационного уширения p в пределах от 0.4 до 2.0 с разным шагом, а формы контура индивидуальной компоненты T_{ex} , как и ранее [4], от T_1 до G . При этом оказалось, что форма расчетного контура мало чувствительна к изменению величины параметра p , и к изменению формы контура отдельной колебательно-вращательной компоненты. То обстоятельство, что исходный экспериментальный спектр раствора HCl в SF₆ обладает заметно выраженной вращательной структурой, а огибающая этого спектра не является плавнomenецией гладкой функцией, дало возможность выбрать

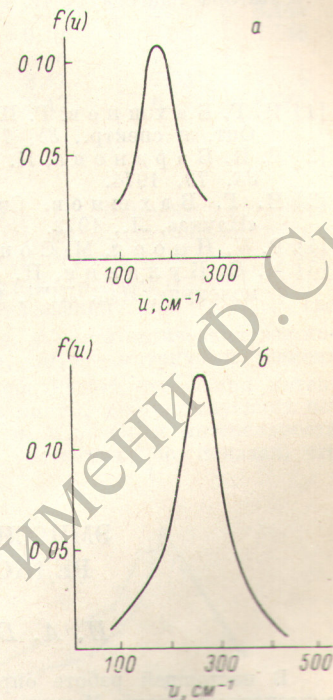


Рис. 2. Функция распределения высот потенциальных барьеров, препятствующих вращению молекул HCl в растворах.

Растворители: $\sigma - C_6F_5Cl_2$, $\delta - C_6F_5Cl_3$.

й энергии и построить функцию препятствующих вращению, (рис. 2). Наиболее вероятные оались различны для раствора $\text{Cl}_p = 180 \pm 20 \text{ см}^{-1}$. Эти величины, полученные по способу, предложенному для растворов HCl в $\text{C}_n\text{F}_m\text{Cl}_p = 150 \pm 20 \text{ см}^{-1}$, найдеными с помощью раз-

оптимальные значения T_n и r из условия, чтобы суперпозиция интенсивностей отдельных колебательно-вращательных компонент при некоторых заданных значениях T_n и r в различных точках спектра приводила к наиболее удовлетворительному согласию между расчетным и экспериментальным контурами суммарного структурного спектра. Найденное описанным путем значение величины r оказалось равным 1.6, а контур отдельной колебательно-вращательной полосы имеет форму Лоренца (T_1). Слабая чувствительность расчетных значений интенсивности в максимуме элементарной компоненты к изменению формы ее контура, а также еще больший рост значения r по сравнению с другими рассмотренными системами [2] и его выход за пределы корреляционного соотношения [3], по-видимому, определяется дальнейшим ростом уровня флуктуаций в данной системе.

Авторы благодарят Н. Г. Бахшиева за постоянное внимание к работе.

Литература

- [1] Н. Г. Бахшиев, Г. И. Баранова, О. П. Гирин, П. И. Зеликман. Опт. и спектр., 35, 71, 1973.
- [2] Г. И. Баранова, П. И. Зеликман, Н. Г. Бахшиев. Опт. и спектр., 36, 73, 1974.
- [3] Н. Г. Бахшиев. Спектроскопия межмолекулярных взаимодействий. Изд. «Наука», Л., 1972.
- [4] P. V. Nioung, M. Cousi, M. Reggat. Chem. Phys. Lett., 7, 189, 1970.
- [5] М. О. Буланин, Н. Д. Орлова. Сб. «Спектроскопия взаимодействующих молекул». Изд. ЛГУ, 1970.

Поступило в Редакцию 6 марта 1974 г.

УДК 539.184+535.33

ЭМИССИОННЫЕ ЛИНИИ M -СЕРИИ РЕДКОЗЕМЕЛЬНЫХ МЕТАЛЛОВ

И. А. Брытов и Л. Е. Мстибовская

В настоящей работе определены положения и относительные интенсивности эмиссионных линий M -серии, соответствующих переходам между внутренними уровнями редкоземельных металлов Gd, Dy, Er, Tm, Yb и Lu. Экспериментальная часть работы выполнена на вакуумном спектрометре с плоским кристаллом и пластинчатыми

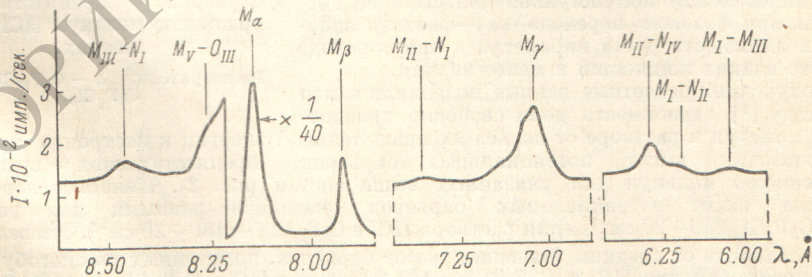


Рис. 1. Спектр M -серии Yb.

Угол отбора $\varphi=90^\circ$, $U_a=4$ кв.

коллиматорами [1]. Исследуемые образцы металлов нагревались под действием электронного пучка и оставались в разогретом состоянии при вакууме 10^{-6} мм рт. ст., что гарантировало отсутствие загрязнений на поверхности анода [2]. Аппаратурное разрешение было лучше 1.5 эв.

В качестве примера на рис. 1 приведен спектр M -серии Yb. Из всех обозначенных переходов до настоящего времени известны были энергии только M_α -, M_β - и M_γ -линий [3], остальные значения получены нами впервые. При определении спектрального положения линий в качестве референсов использовались M_α - и M_β -линии вольфрама и некоторых редкоземельных металлов.

С длинноволновой стороны от M_α - и M_β -полос обнаружены были слабые линии с интенсивностью, в 200 раз меньшей интенсивности основных линий. Мы предполо-